



**UNIVERSIDADE FEDERAL DE PERNAMBUCO**  
**CENTRO DE INFORMÁTICA**

**Antenas**

Métodos dos Momentos - Dipolos  
Matheus Ferreira Bernardo de Souza

Prof: Odilon Maroja da Costa Pereira Filho

16/11/2021

## 1 - Objetivos

Análise numérica das propriedades de antenas tipo dipolos usando o Método dos Momentos.

## 2 - Geometria

Seja uma antena de dipolo linear, de comprimento  $L$ , ao longo do eixo dos  $z$ , alimentada pelo centro. Considere que o raio do fio  $a$  seja muito menor que o comprimento de onda, e que o metal da antena seja perfeitamente condutor.

## 3 - Prática

1. Seguindo o procedimento mostrado em sala, obtenha os elementos das matrizes de Impedância ( $Z$ ) e de Tensão ( $V$ ) para funções de base tipo triangulares.

Com o objetivo de obter os valores de impedância e corrente de uma dada antena (descrita na seção de geometria), de uma forma analítica o problema pode ser definido pelo seguinte sistema:

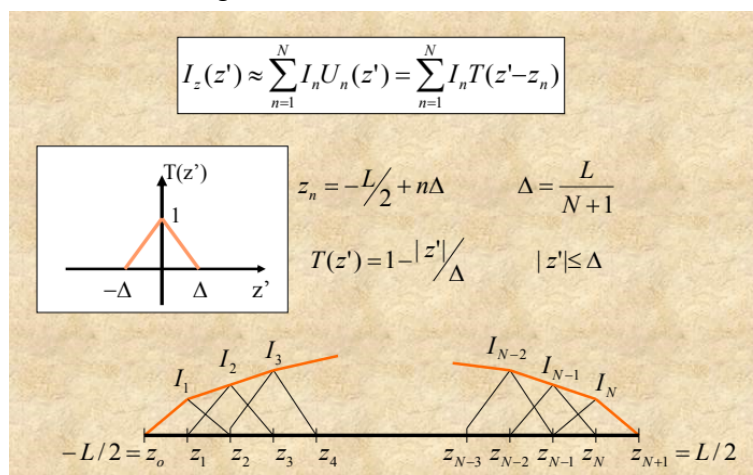
$$[Z][I] = [V]$$

Onde:

$$Z_{mn} = \int_{-L/2}^{L/2} W_m(z) \left( k^2 + \frac{\partial^2}{\partial z^2} \right) \int_{-L/2}^{L/2} U_n(z') \frac{e^{-jk\sqrt{(z-z')^2 + a^2}}}{4\pi\sqrt{(z-z')^2 + a^2}} dz' dz$$

$$V_m = -j\omega\epsilon \int_{-L/2}^{L/2} W_m(z) \delta(z) dz = -j\omega\epsilon W_m(0)$$

A corrente na antena não é conhecida, porém como sabemos de sua natureza comum de distribuição é possível fazer uma aproximação (chute educado) de como ela está distribuída ao longo do eixo  $Z$  da antena. Nessa atividade fazemos isso por meio de funções de base triangulares:



Por esse caminho podemos simplificar mais ainda alguns termos como:

$$Z_{mn} = k^2 A_{mn} - \Phi_{mn}$$

Onde:

$$\Phi_{mn} \approx \Psi(m-1/2, n-1/2) - \Psi(m-1/2, n+1/2) - \Psi(m+1/2, n-1/2) + \Psi(m+1/2, n+1/2)$$

$$A_{mn} = \int_{-1/2}^{1/2} W_m(z) \int_{-1/2}^{1/2} U_n(z') G(z-z') dz' dz =$$

$$\approx \Delta \int_{z_{n-1/2}}^{z_{n+1/2}} G(z_m - z') dz' = \Delta^2 \Psi(m, n)$$

Sabendo que:

### • Aproximação para $\Psi(m, n)$

i) Se  $m=n$

$$e^{-jk\sqrt{(z_m - z')^2 + a^2}} \approx 1 - jk\sqrt{(z_m - z')^2 + a^2}$$

$$\Psi(n, n) \approx \frac{1}{\Delta} \int_{z_{n-1/2}}^{z_{n+1/2}} \frac{1 - jk\sqrt{(z_n - z')^2 + a^2}}{4\pi\sqrt{(z_n - z')^2 + a^2}} dz' \approx \frac{1}{2\pi\Delta} \ln(\Delta/a) - \frac{jk}{4\pi}$$

ii) Se  $m \neq n$

$$\Psi(m, n) \approx \frac{e^{-jk\sqrt{(z_m - z_n)^2 + a^2}}}{4\pi\sqrt{(z_m - z_n)^2 + a^2}}$$

Dessa forma é possível implementar um software para fazer essa análise numérica do problema.

**2. Implemente a formulação em Matlab ou outro ambiente/linguagem desejada.**

A implementação foi feita usando a linguagem Python em conjunto com as bibliotecas scipy (para constantes matemáticas/físicas), numpy (para resolução de sistemas lineares) e matplotlib (para visualização dos resultados obtidos).

$$[Z][I] = [V]$$

```
# solve the linear system
I = np.linalg.solve(Z, V)
```

Onde:

$$Z_{mn} = k^2 A_{mn} - \Phi_{mn}$$

```
# populate impedance matrix
for m in range(self.N):
    for n in range(self.N):
        Z[m,n] = self.k**2 * self.__A(m,n) - self.__phi(m,n)
```

$$V_m = -j\omega\epsilon \int_{-l/2}^{l/2} W_m(z) \delta(z) dz = -j\omega\epsilon W_m(0)$$

```
# populate voltage matrix
V[round((self.N+1)/2)-1, 0] = -self.j * self.w * self.e * self.volt
```

$$A_{mn} = \int_{-l/2}^{l/2} W_m(z) \int_{-l/2}^{l/2} U_n(z') G(z-z') dz' dz =$$

$$\approx \Delta \int_{z_{n-1/2}}^{z_{n+1/2}} G(z_m - z') dz' = \Delta^2 \Psi(m, n)$$

```
def __A(self, m, n):
    return (self.delta**2 * self.__psi(m,n))
```

Se m = n:

$$\Psi(n,n) \approx \frac{1}{\Delta} \int_{z_{n-1/2}}^{z_{n+1/2}} \frac{1 - jk \sqrt{(z_n - z')^2 + a^2}}{4\pi \sqrt{(z_n - z')^2 + a^2}} dz' \approx \frac{1}{2\pi\Delta} \ln(\Delta/a) - \frac{jk}{4\pi}$$

Se m != n:

$$\Psi(m,n) \approx \frac{e^{-jk \sqrt{(z_m - z_n)^2 + a^2}}}{4\pi \sqrt{(z_m - z_n)^2 + a^2}}$$

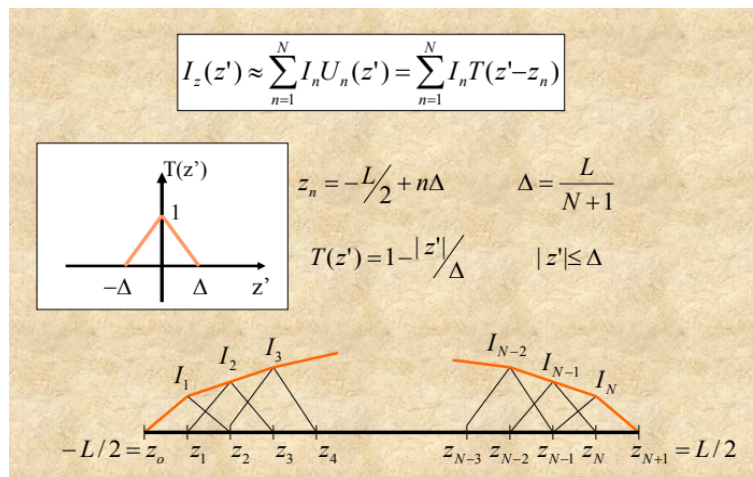
```
def __psi(self, m, n):
    if m == n:
        return ((1/(2*pi*self.delta))*np.log(self.delta/self.a) - self.j*self.k/(4*pi))
    else:
        return (self.__G(self.__z(m) - self.__z(n)))
```

```
def __G(self, z):
    return (np.exp(-self.j*self.k*np.sqrt(z**2 + self.a**2))/(4*pi*np.sqrt(z**2 + self.a**2)))
```

$$\Phi_{mn} \approx \Psi(m-1/2, n-1/2) - \Psi(m-1/2, n+1/2) - \Psi(m+1/2, n-1/2) + \Psi(m+1/2, n+1/2)$$

```
def __phi(self, m, n):
    return ( self.__psi(m-0.5,n-0.5) - self.__psi(m-0.5,n+0.5) - self.__psi(m+0.5,n-0.5)
+ self.__psi(m+0.5,n+0.5) )
```

E finalmente as aproximações da corrente distribuída na antena:



```
def __Triangular_Base(self, z):
    if abs(z) <= self.delta:
        return (1 - abs(z)/self.delta)
    else:
        return 0

def __z(self, n):
    return (-self.L/2 + n * self.delta)

def __Iz(self, I_array, z, base_function=None):
    i = 0.0 + 0.0j
    for n in range(self.N):
        i = i + I_array[n,0] * base_function(z - self.__z(n+1))
    return i
```

O código completo pode ser visto em anexo ao relatório.

3. Para uma antena de meio comprimento-de-onda ( $L = \lambda/2$ ), e raio  $a = 10^{-4}\lambda$ , determine a distribuição de corrente ao longo da antena. Use 19 funções de base. Varie o número de funções de base ( $N$ , ímpar) e observe a convergência. Lembre-se de que a alimentação deve ser mantida no elemento central (elemento  $(N+1)/2$ ).

```
class Linear_Antenna:
    def __init__(self, frequency=300e6, radius=1e-4, lenght_factor=1/2, source_voltage=1) ->
    None:

        # antenna characteristics
        self.lbd = speed_of_light/frequency
        self.w = 2 * pi * frequency
        self.k = (2 * pi)/self.lbd
        self.a = radius * self.lbd
        self.L = self.lbd * lenght_factor
        self.volt = source_voltage
        self.delta = None
        self.N = None

        # constants
        self.j = 0 + 1j
        self.e = 8.854187817e-12
```

Na instanciação da antena foi definida uma frequência de 300 MHz, um raio de  $10^{-4}\lambda$ , uma excitação de 1V e um comprimento de onda de  $\lambda/2$ . Tudo de acordo com os requerimentos dados.

### Resultados:

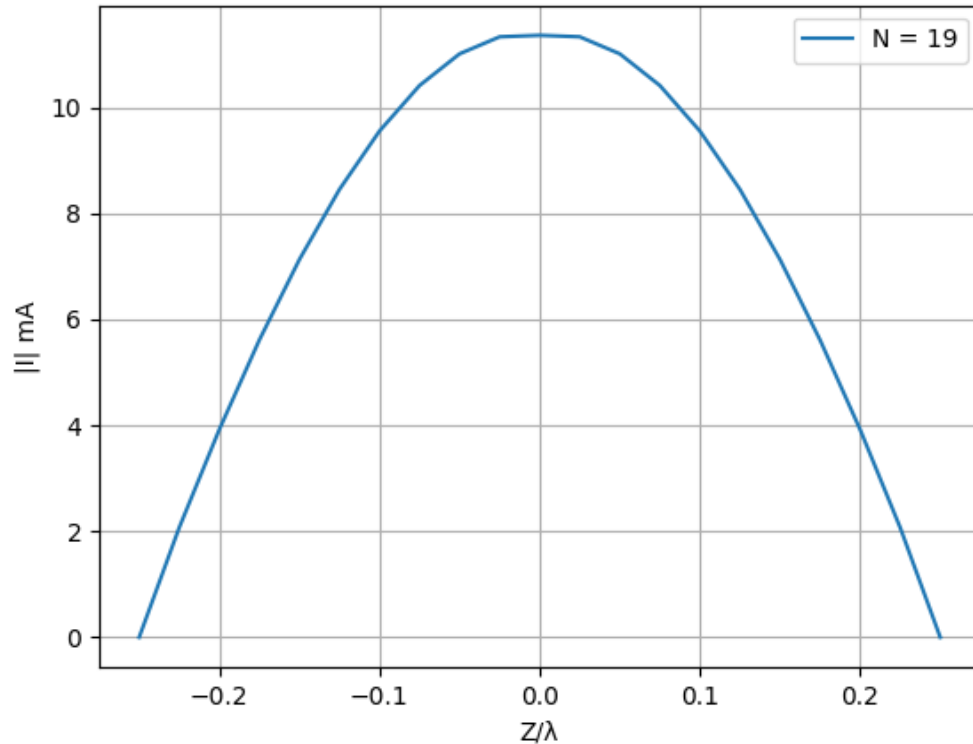


figura 1: distribuição da corrente na antena para 19 segmentos

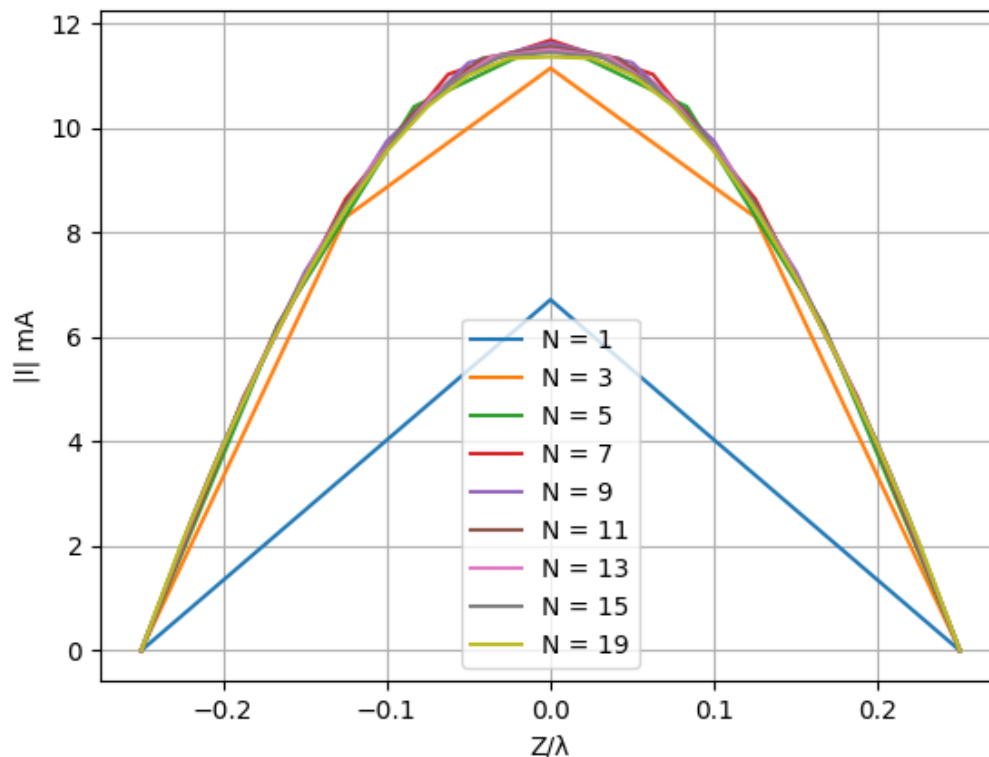


figura 2: distribuição da corrente na antena para 1 até 19 segmentos

4. Para a antena do item anterior, obtenha a impedância de entrada, e mostre sua convergência com  $N$ .

### Resultados:

O programa gera como saída as seguintes impedâncias para  $N = 1, 3, 5, 7, 9, 11, 13, 15, 19$  respectivamente:

```
(52.183090696145946+139.5892368126632j)
(71.89350043622771+53.76754936284155j)
(75.12197828073145+41.374843489649784j)
(76.48748410676372+38.555314311735756j)
(77.25573604735224+37.96871891417739j)
(77.75445385864238+38.05113088506095j)
(78.10737835159556+38.349400438520455j)
(78.3719703472052+38.70860237848011j)
(78.74532474360599+39.415741281410476j)
```

Logo, para  $N = 19$  o programa calculou uma impedância de  $78.74532474360599 + 39.415741281410476j \Omega$

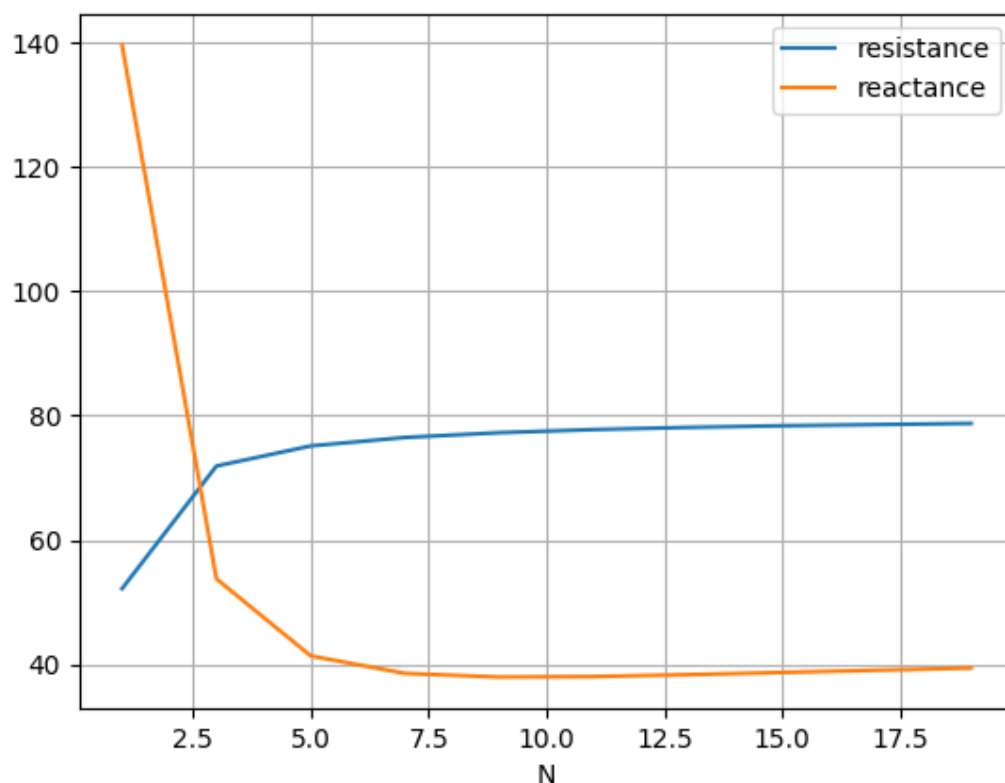


figura 3: gráfico da resistência e reatância à medida que  $N$  aumenta

**Conclusões:**

Com esse experimento foi possível aprender mais na prática os temas vistos em sala de aula sobre as naturezas físicas de uma antena dipolo linear, e aplicando os conceitos de álgebra linear e programação.